

九大 正員 平野 宗夫
 = 正員 金子 新
 = 学生員 ○谷口直隆

1. まえがき

浮遊砂による貯水池の堆砂に関するは、芦田等¹⁾が最初に研究を行ない、浮遊砂濃度の変化、堆砂形状及び分級作用などについて報告を行なっている。しかし、貯水池のように水深の変化する断面においては、平均流速が流下方向に減少するときに、流速分布を導流とは著しく異なる。本報では、模型水路による流速及び濃度の実測結果を報告し、合わせて段丘肩よりケタリ下流で、堆砂の巻き上げの始んど無い領域における浮遊砂濃度の流下方向変化を、平均流速の減少を考慮して解析し実測値と比較している。

2. 実験装置及び方法

図-1に示すよろず長さ10.5m、幅40cmの可変勾配水路を開いて実験を行なった。流量は、流出端における矩形セキにより測定し、なお、供給砂量はBelt Conveyorの速度により較和し変えられることができ、供給砂が水路幅一様に拡がるよう突起のある傾斜板を置いている。

流速は、プロペラ流速計により測定し、浮遊砂濃度は、サイフォンにより抽出し口過12秤量した。供給砂として珪砂を用い、図-2に示す沈降速度分布を与える。

供給砂は、かなりの粒度範囲を有する浮遊砂、掃流砂の両者を含むものと考元される。堆砂形状は、水を静かに停止して底計り、その後再び通水して実験を継続した。表-1に実験条件を示す。

3. 実験結果と考察

1) 堆砂形状と段丘の進行速度

図-3に堆砂形状の時間変化を示す。すなはち、よく知られるように、浮遊砂を含むとともに段丘の存在が、きり認められ、段丘肩は水平に進行して貯水池を埋没させることを示している。図-4に、段丘肩の移動の様子を示すが、一定かあるいは時間の経過につれて、多少減少する移動速度を示している。図-5に、実験終了時ににおける堆砂の沈降速度分析結果を示す。明らかに、段丘上と浮遊砂堆積層との間に、粒度構成上違ひがある。

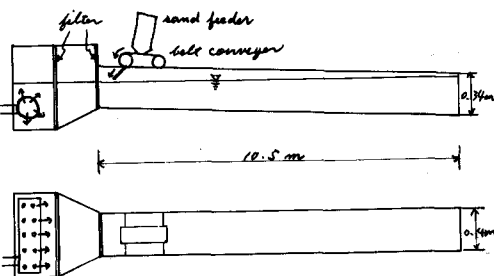


図-1. 実験装置

単位幅流量	22.4 cm ³ /sec
単位幅供給砂量	0.114 cm ³ /sec
供給砂 平均粒径	1.7 mm/sec
供給砂 比重	2.66
河床勾配	0.02
水温	11.5°C

表-1 実験条件

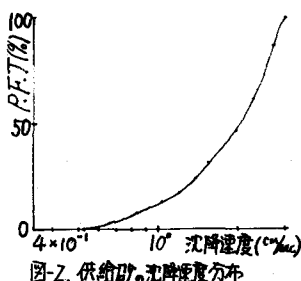


図-2. 供給砂の沈降速度分布

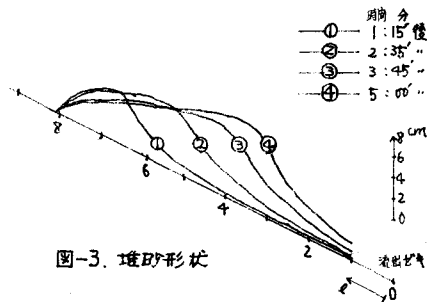


図-3. 堆砂形状

2) 流速分布

図-6、図-7ヒアローラには
よる流速分布の測定例を示し、
これが冲積速度分布の流下方向、
時間変化を与えている。流速分
布は、段丘肩から距離によつて

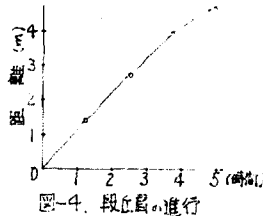


図-4. 段丘肩の進行

で時間的にも著しく変化し、段丘肩に接近するほど断面流
の流速分布特性を示す。これは、段丘肩に近づくにつれて
堆砂面勾配が急となることに起因するものと考えられる。

3) 流速砂濃度分布

図-8に実験開始2時間後における
沿岸砂濃度の流下方向変化を示す。

段丘上では、よく知られるように
Rouss 分布が成り立つ、段丘肩を過ぎ
るとときに巻き上げが減少し、堆砂
進行を示す濃度分布形を示す。

ここで、堆積の進行12m3段丘肩
下流の濃度分布を、平均流速の減少を考慮して解析す。

定常状態の2次元拡散方程式は次式で与えられる。

$$\frac{U_0}{1+i_b \frac{\pi}{\mu}} \cdot \frac{\partial C}{\partial x} - w_p \cdot \frac{\partial C}{\partial y} = E_p \cdot \frac{\partial^2 C}{\partial y^2} \quad (1)$$

左辺で、河床に沿って下流向きにx軸、それに垂直上向きにy軸を
とる。C: 沿岸砂濃度 U_0 , w_p : $x=0$ における平均流速及び水深

E_p : 沿岸砂の渦動拡散係数 i_b : 河床勾配

境界条件 $x=0$ $C(x, y) = C_0 \cdot f(y)$ C_0 : $x=0$ の河床濃度

$$y=0 \quad E_p \frac{\partial C}{\partial y} = 0 \quad \left. \right\} \quad (2)$$

$$y=h(x) \quad E_p \frac{\partial C}{\partial y} + w_p C = 0$$

x の微小区間にわたりこれを一定とすると、(2)を(1)に代入

して解を求めるべく次式を得る²⁾

$$C(x, y) = C_0 \cdot e^{-\frac{i_b y}{B} \left(1 + \frac{1}{2} i_b \frac{x}{B} \right)} \cdot e^{-\frac{B}{2} \frac{y^2}{A}} \cdot \sum_{n=1}^{\infty} \frac{f(n)}{n} \cdot e^{\frac{B}{2} n^2} \cdot \frac{B}{2 \mu n^2} \cdot \frac{B^2}{8 \mu n^2} \cdot \left[1 + 2 i_b \frac{x}{B} \left(1 + \frac{1}{2} i_b \frac{x}{B} \right) \right]^{-\frac{B^2 A}{16 \mu n^2}} \cdot \left(\frac{B}{2 \mu n} \sin \mu n \frac{y}{B} + \cos \mu n \frac{y}{B} \right) \quad (3)$$

$$\text{ただし}, \tan \mu n = \frac{B \cdot \mu n}{\mu n^2 - \frac{B}{4} \cdot B^2} \quad A = w_p / U_0 \quad B = w_p \cdot h_0 / E_p$$

微小区間計算を進めた上で、初期条件として $f(y)$ を変えて順次下流の濃度分布を決定する。図-9は、開始2時間後の $l=3m$ の濃度分布を初期値とし、(3)より数値解析した結果と実験値を $l=1m$ で比較したものである。一致を示している。計算で、 w_p と $l=1m$ における沿岸砂の平均沈降速度 ($w_p = 0.6 \text{ cm/s}$) を用いてい。

参考文献 1) 矢野、芦田、大洞、前田 京大防災研年報 第7号 昭和39年3月 P348~364

2) 合田健 土木学会論文集 第6号 昭和26年8月 P39~43

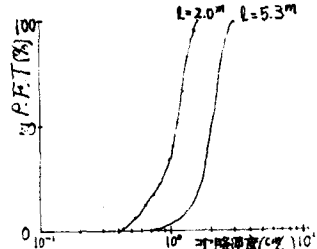


図-5. 堆砂の沈降速度分布

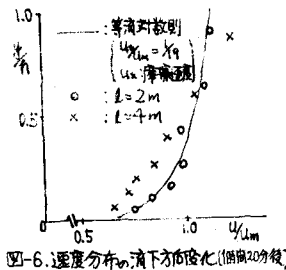


図-6. 速度分布の流下方向変化(時間20分後)

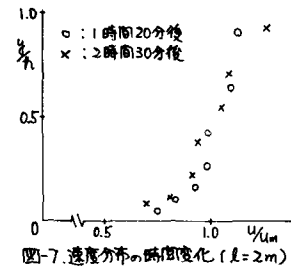


図-7. 速度分布の時間変化($l=2m$)

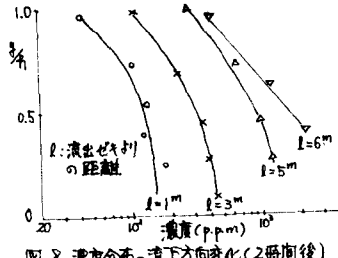


図-8. 濃度分布の流下方向変化(2時間後)

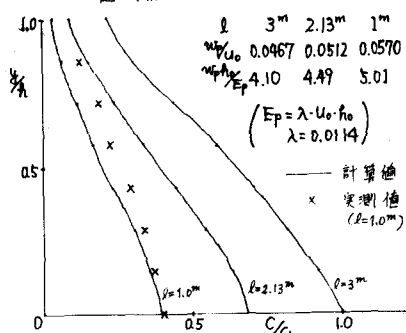


図-9. 計算値と実測値の比較